

Здесь опять получаем аналогичное выражение вида:

$$\begin{bmatrix} A \\ B \end{bmatrix} = M_3^{-1} \cdot M_4 \cdot M_1^{-1} \cdot M_2 \cdot \begin{bmatrix} D \\ 0 \end{bmatrix}.$$

Но матрицы  $M_1^{-1}$  и  $M_4$  будут уже иметь вид:

$$M_1^{-1} = \begin{bmatrix} 1 & -a \\ 0 & 1 \end{bmatrix}, \quad M_4 = \begin{bmatrix} 1 & -a \\ 0 & 1 \end{bmatrix}.$$

В то время как матрицы  $M_3^{-1}$  и  $M_2$  не претерпят изменений.

Таким образом, чем меньше размеры, массы частиц, ширина потенциала и разность энергий  $E - U_0$ , тем больше вероятность прохождения частицы через барьер.

### Литература

1. Балашов, В. В. Квантовая теория столкновений / В. В. Балашов. – М. : МАКС Пресс, 2012. – 292 с.
2. Griffiths, David J. Introduction to Quantum Mechanics / David J. Griffiths. – Prentice Hall. Upper Saddle. River, New Jersey, 1994. – 394 р.

**А. Д. Жуковец**

(ГГУ имени Ф. Скорины, Гомель)

Науч. рук. **В. Н. Капшай**, канд. физ.-мат. наук, доцент

## МАТРИЧНЫЙ МЕТОД ОПРЕДЕЛЕНИЯ КОЭФФИЦИЕНТОВ ПРОХОЖДЕНИЯ И ОТРАЖЕНИЯ ДЛЯ ПРЯМОУГОЛЬНОГО ПОТЕНЦИАЛА В СЛУЧАЕ ОТ 0 ДО $a$

Рассмотрим прохождение частицы через прямоугольный потенциальный барьер от 0 до  $a$ , чтобы определить коэффициенты прохождения и отражения в данном случае.

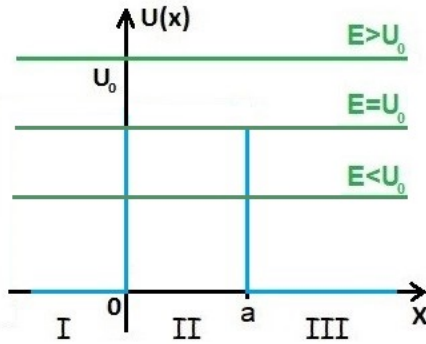


Рисунок 1 – График потенциального барьера (от 0 до a).

Возможные значения энергии:  $E > U_0$ ,  $E = U_0$ ,  $E < U_0$

Для начала разберем случай с  $E > U_0$  (рисунок 1). Запишем одномерное уравнение Шредингера для каждой из областей [1]:

$$\begin{aligned} -\frac{\hbar^2}{2m}\Psi_I''(x) &= E\Psi_I(x), \quad x < 0, \\ -\frac{\hbar^2}{2m}\Psi_{II}''(x) + U_0(x)\Psi_{II}(x) &= E\Psi_{II}(x), \quad 0 < x < a, \\ -\frac{\hbar^2}{2m}\Psi_{III}''(x) &= E\Psi_{III}(x), \quad x > a. \end{aligned} \quad (1)$$

Используем условия сшивания:

$$\begin{cases} \Psi_I(0) = \Psi_{II}(0), \\ \Psi_I'(0) = \Psi_{II}'(0), \end{cases} \quad \begin{cases} \Psi_{II}(a) = \Psi_{III}(a), \\ \Psi_{II}'(a) = \Psi_{III}'(a). \end{cases} \quad (2)$$

Упростим выражения (1), умножив их на  $-\frac{2m}{\hbar^2}$ , введём замены:

$$\frac{2mE}{\hbar^2} = k^2, \quad \frac{2m}{\hbar^2}(U_0 - E) = K^2,$$

тогда:  $\Psi_I''(x) = -k^2\Psi_I(x)$ ,  $\Psi_{II}''(x) = -K^2\Psi_{II}(x)$ ,  
 $\Psi_{III}''(x) = -k^2\Psi_{III}(x)$ .

Решения данных уравнений и первые производные от них имеют вид:

$$\begin{aligned} \Psi_I(x) &= Ae^{ikx} + Be^{-ikx}, & \Psi_I'(x) &= Aike^{ikx} - Biske^{-ikx}, \\ \Psi_{II}(x) &= C_1e^{iKx} + C_2e^{-iKx}, & \Psi_{II}'(x) &= C_1iKe^{iKx} - C_2iKe^{-iKx}, \\ \Psi_{III}(x) &= De^{ikx}, & \Psi_{III}'(x) &= Dike^{ikx}. \end{aligned}$$

Подставим полученные выражения в условия сшивания [2]:

$$\begin{cases} A + B = C_1 + C_2, \\ Aik - Bik = C_1 iK - C_2 iK, \\ C_1 e^{iKa} + C_2 e^{-iKa} = D e^{ika}, \\ C_1 iK e^{iKa} - C_2 iK e^{-iKa} = D iK e^{ika}. \end{cases} \quad (3)$$

Решив данную систему, получим искомые коэффициенты. Однако нахождение коэффициентов прохождения и отражения способом, описываемым в большинстве учебников, является сложным и может привести к большому количеству ошибок. Поэтому используем матричный метод их определения.

Запишем два последних уравнения системы (3) в виде произведения матриц:

$$\begin{bmatrix} e^{iKa} & e^{-iKa} \\ iKe^{iKa} & -iKe^{-iKa} \end{bmatrix} \begin{bmatrix} C_1 \\ C_2 \end{bmatrix} = \begin{bmatrix} e^{ika} & e^{-ika} \\ ike^{ika} & -ike^{-ika} \end{bmatrix} \begin{bmatrix} D \\ 0 \end{bmatrix}.$$

Введём замены:

$$M_1 = \begin{bmatrix} e^{iKa} & e^{-iKa} \\ iKe^{iKa} & -iKe^{-iKa} \end{bmatrix}, \quad M_2 = \begin{bmatrix} e^{ika} & e^{-ika} \\ ike^{ika} & -ike^{-ika} \end{bmatrix}.$$

Найдем определитель матрицы  $M_1$  и обратную матрицу  $M_1^{-1}$ :

$$\det M_1 = -2iK,$$

$$M_1^{-1} = \frac{1}{-2iK} \begin{bmatrix} -iKe^{-iKa} & -e^{-iKa} \\ -iKe^{iKa} & e^{iKa} \end{bmatrix}.$$

Теперь можно выразить коэффициенты  $C_1$  и  $C_2$ :

$$\begin{bmatrix} C_1 \\ C_2 \end{bmatrix} = \frac{1}{-2iK} \begin{bmatrix} -iKe^{-iKa} & -e^{-iKa} \\ -iKe^{iKa} & e^{iKa} \end{bmatrix} \begin{bmatrix} e^{ika} & e^{-ika} \\ ike^{ika} & -ike^{-ika} \end{bmatrix} \begin{bmatrix} D \\ 0 \end{bmatrix} = M_1^{-1} \cdot M_2 \cdot \begin{bmatrix} D \\ 0 \end{bmatrix}. \quad (4)$$

Запишем два первых уравнения системы (3) в виде произведения матриц:

$$\begin{bmatrix} 1 & 1 \\ ik & -ik \end{bmatrix} \begin{bmatrix} A \\ B \end{bmatrix} = \begin{bmatrix} 1 & 1 \\ iK & -iK \end{bmatrix} \begin{bmatrix} C_1 \\ C_2 \end{bmatrix}.$$

Введём замены:

$$M_3 = \begin{bmatrix} 1 & 1 \\ ik & -ik \end{bmatrix}, \quad M_4 = \begin{bmatrix} 1 & 1 \\ iK & -iK \end{bmatrix}.$$

Найдем определитель матрицы  $M_3$  и обратную матрицу  $M_3^{-1}$ :

$$\det M_3 = -2ik,$$

$$M_3^{-1} = \frac{1}{-2ik} \begin{bmatrix} -ik & -1 \\ -ik & 1 \end{bmatrix}.$$

Выразим коэффициенты  $A$  и  $B$ , необходимые для определения коэффициента отражения  $R$ :

$$\begin{bmatrix} A \\ B \end{bmatrix} = \frac{1}{-2ik} \begin{bmatrix} -ik & -1 \\ -ik & 1 \end{bmatrix} \begin{bmatrix} 1 & 1 \\ iK & -iK \end{bmatrix} \begin{bmatrix} C_1 \\ C_2 \end{bmatrix} = M_3^{-1} \cdot M_4 \cdot \begin{bmatrix} C_1 \\ C_2 \end{bmatrix}.$$

Подставляя в полученное выражение найденные ранее коэффициенты  $C_1$  и  $C_2$  (см. формулу (4)) получим:

$$\begin{bmatrix} A \\ B \end{bmatrix} = M_3^{-1} \cdot M_4 \cdot M_1^{-1} \cdot M_2 \cdot \begin{bmatrix} D \\ 0 \end{bmatrix}. \quad (5)$$

Рассматривая случай с  $E < U_0$  (рисунок 1), введем замены:

$$\frac{2mE}{\hbar^2} = k^2, \quad (U_0 - E) = \alpha^2,$$

тогда:  $\Psi_{II}''(x) = \alpha^2 \Psi_{II}(x)$ .

Решение данного уравнения запишем в виде:

$$\Psi_{II}(x) = C_1 e^{-\alpha x} + C_2 e^{\alpha x}.$$

Первая производная:

$$\Psi_{II}'(x) = -C_1 \alpha e^{-\alpha x} - C_2 \alpha e^{\alpha x}.$$

Остальные уравнения системы (2) останутся без изменений. Подставив полученные выражения в условия сшивания и проделав необходимые операции, получим выражение, аналогичное (5):

$$\begin{bmatrix} A \\ B \end{bmatrix} = M_3^{-1} \cdot M_4 \cdot M_1^{-1} \cdot M_2 \cdot \begin{bmatrix} D \\ 0 \end{bmatrix}.$$

Только здесь матрицы  $M_1^{-1}$  и  $M_4$  будут иметь вид:

$$M_1^{-1} = \frac{1}{2\alpha} \begin{bmatrix} \alpha e^{\alpha x} & -e^{\alpha x} \\ \alpha e^{-\alpha x} & e^{-\alpha x} \end{bmatrix}, \quad M_4 = \begin{bmatrix} 1 & 1 \\ -\alpha & \alpha \end{bmatrix}.$$

Матрицы  $M_3^{-1}$  и  $M_2$  не претерпят изменений.

В случае  $E = U_0$  (рисунок 1), скобка  $(E - U_0)$  будет равняться нулю, вторая производная  $\Psi_{II}''(x)$  также будет равняться нулю. Решением данного уравнения будет:

$$\Psi_{II}(x) = C_1 + C_2 x.$$

Первая производная:

$$\Psi_{II}'(x) = C_2.$$

Здесь опять получаем аналогичное выражение вида:

$$\begin{bmatrix} A \\ B \end{bmatrix} = M_3^{-1} \cdot M_4 \cdot M_1^{-1} \cdot M_2 \cdot \begin{bmatrix} D \\ 0 \end{bmatrix}.$$

Но матрицы  $M_1^{-1}$  и  $M_4$  будут уже иметь вид:

$$M_1^{-1} = \begin{bmatrix} 1 & -\alpha \\ 0 & 1 \end{bmatrix}, \quad M_4 = \begin{bmatrix} 1 & 0 \\ 0 & 1 \end{bmatrix}.$$

В то время как матрицы  $M_3^{-1}$  и  $M_2$  не претерпят изменений.

Таким образом, найденные матрицы позволяют определить коэффициенты прохождения и отражения для потенциального барьера от 0 до  $a$ , при этом они имеют более простой вид по сравнению с матрицами, полученными в случае области от  $-a$  до  $a$ , а значит их нахождение является менее трудоемким.

## Литература

1. Балашов, В. В. Квантовая теория столкновений / В. В. Балашов. – М. : МАКС Пресс, 2012. – 292 с.
2. Griffiths, David J. Introduction to Quantum Mechanics / David J. Griffiths. – Prentice Hall. Upper Saddle. River, New Jersey, 1994. – 394 p.

**В. Ю. Златина**

(ГГТУ имени П. О. Сухого, Гомель)

Науч. рук. **В. Ю. Гавриш**, канд. физ.-мат. наук, доцент

## ФИЗИЧЕСКИЕ ПРИЛОЖЕНИЯ $\delta$ -ФУНКЦИИ ДИРАКА

**Введение.** Решение задач квантовой теории рассеяния невозможно без использования аппарата математической физики. Так даже простейшие задачи расчета наблюдаемых на эксперименте величин в физике элементарных частиц требуют специализированных методов.

Работа посвящена приложениям  $\delta$ -функции Дирака. В разделе 1 приведено определение функции Дирака в терминах функционального анализа. В разделе 2 изложены основные тождества для  $\delta$ -функции. Как результат работы, в разделе 3 приведен пример использования функции Дирака для расчета фазового объема конечного двухчастичного состояния.

**1. Определение  $\delta$ -функции Дирака.** Сформулируем задачу определения плотности точки единичной массы [1]. Для простоты будем считать, что эта точка совпадает с началом координат. От такой плотности потребуем, чтобы интеграл по любому объему  $V$  давал бы массу вещества, заключенного в этом объеме, т.е.

$$\int_V \delta(x) dx = \begin{cases} 1, & \text{если } 0 \in V, \\ 0, & \text{если } 0 \notin V, \end{cases} \quad (1)$$

где  $\delta(x) = \lim_{\varepsilon \rightarrow 0} f_\varepsilon(x)$ ,  $f_\varepsilon(x)$  – средняя плотность такой точки,  $f_\varepsilon(x) = \frac{3}{4\pi\varepsilon^3}$ . Показано [1], для любой непрерывной функции  $\varphi(x)$  предел при  $\varepsilon \rightarrow 0$  числовой последовательности определен как

$$\lim_{\varepsilon \rightarrow 0} \int f_\varepsilon(x) \varphi(x) dx = \varphi(0). \quad (2)$$